

УДК 539.3

СРАВНЕНИЕ ЧИСЛЕННОГО ПОСТРОЕНИЯ ОРИГИНАЛА РЕШЕНИЯ ОДНОМЕРНОЙ ПОРОУПРУГОЙ ЗАДАЧИ НА ОСНОВЕ ШАГОВОГО МЕТОДА И МЕТОДА ДУРБИНА^{*}

© 2013 г.

Л.А. Игумнов, А.Н. Петров, А.А. Ипаторов

НИИ механики Нижегородского госуниверситета им. Н.И. Лобачевского

igumnov@mech.unn.ru

Поступила в редакцию 14.11.2013

Рассматривается одномерная пороупругая задача о действии скачка осевой силы на консольный стержень. Задача имеет аналитическое решение в изображениях по Лапласу. Оригиналы решений строятся на основе метода Дурбина и шагового по времени метода численного преобразования Лапласа. Дано сравнение оригиналов, полученных на основе примененных методов.

Ключевые слова: пороупругость, метод граничных элементов, преобразование Лапласа, метод гранично-интегральных уравнений, алгоритм Дурбина и шаговый метод.

Введение

Исследование волновых процессов в пористо-упругих телах представляет научный и практический интерес. В исследованиях применяется модель Био пористо-упругой среды. Теория Био [1–3] является расширением классической теории упругости на случай двухфазной среды с учетом ввода дополнительных параметров, учитывающих взаимодействие фаз. Существенным достижением динамической пороупругости стало описание трех типов волн для трехмерного случая: двух волн сжатия и одной волны сдвига. Существование дополнительной волны сжатия экспериментально подтверждено Плона [4]. На примере исследования эффекта третьей волны проведено сравнение методов численного обращения преобразования Лапласа.

Постановка задачи

Система дифференциальных уравнений одномерного распространения пороупругих волн в изображениях имеет вид:

$$\begin{cases} E\tilde{u}_{y,yy} - (1-\beta)\tilde{p}_{,y} - s^2(\rho - \beta\rho_f)\tilde{u}_y = 0, \\ \frac{\beta}{s\rho_f}\tilde{p}_{,yy} - (1-\beta)s\tilde{u}_{y,y} = 0, \end{cases}$$

* Выполнено при частичном финансировании Программой государственной поддержки ведущих научных школ РФ (грант НШ-593.2014.8) и РФФИ (гранты 14-08-31415-мол_а, 14-08-31410-мол_а, 14-08-00811-А, 12-08-00984-а, 13-08-97091-р_поволжье_а, 12-01-00698-а, 13-08-00658-а).

$$\beta = \frac{k\rho_f\varphi^2 s^2}{\varphi^2 s + s^2 k(\rho_a + \varphi\rho_f)},$$

где $E = K + 4/3 \cdot G$ – модуль Юнга; K, G – объемный модуль и модуль сдвига пористого тела; ρ, ρ_f и ρ_a – плотности пористого тела, наполнителя и присоединенной массы, φ – пористость, k – коэффициент проницаемости, s – параметр преобразования Лапласа.

При краевых условиях $\tilde{u}_y(y=0) = 0, \tilde{\sigma}_y(y=l) = -1/s, \tilde{p}(y=l) = 0$ формулы для аналитического решения в изображениях по Лапласу имеют следующий вид [5]:

$$\begin{aligned}\tilde{u}_y &= \frac{1}{E(d_1\lambda_2 - d_2\lambda_1)} \left[\frac{d_2(e^{-\lambda_1 s(l-y)} - e^{-\lambda_1 s(l+y)})}{s(1+e^{-2\lambda_1 sl})} - \frac{d_1(e^{-\lambda_2 s(l-y)} - e^{-\lambda_2 s(l+y)})}{s(1+e^{-2\lambda_2 sl})} \right], \\ \tilde{p} &= \frac{d_1 d_2}{E(d_1\lambda_2 - d_2\lambda_1)} \left[\frac{e^{-\lambda_1 s(l-y)} - e^{-\lambda_1 s(l+y)}}{1+e^{-2\lambda_1 sl}} - \frac{e^{-\lambda_2 s(l-y)} - e^{-\lambda_2 s(l+y)}}{1+e^{-2\lambda_2 sl}} \right], \\ q_i &= -\frac{k\rho_f\varphi^2 s^3}{\varphi^2 s + s^2 k(\rho_a + \varphi\rho_f)} \frac{1}{s^2 \rho_f} (\hat{p}_i + s^2 \rho_f \hat{u}_i^s - \hat{f}_i^f),\end{aligned}$$

где

$$\begin{aligned}\lambda_{1,3} &= \pm \left[\left((E\varphi^2/R + (\rho + \beta\rho_f)\beta/\rho_f + (\alpha - \beta)^2) + \sqrt{(E\varphi^2/R + (\rho + \beta\rho_f)\beta/\rho_f + (\alpha - \beta)^2)^2 - 4E\beta\varphi^2(\rho - \beta\rho_f)/(\rho_f R)} \right) / (2E\beta/\rho_f) \right]^{1/2}, \\ \lambda_{2,4} &= \pm \left[\left((E\varphi^2/R + (\rho + \beta\rho_f)\beta/\rho_f + (\alpha - \beta)^2) - \sqrt{(E\varphi^2/R + (\rho + \beta\rho_f)\beta/\rho_f + (\alpha - \beta)^2)^2 - 4E\beta\varphi^2(\rho - \beta\rho_f)/(\rho_f R)} \right) / (2E\beta/\rho_f) \right]^{1/2}, \\ d_i &= \frac{E\lambda_i^2 - (\rho - \beta\rho_f)}{(\alpha - \beta)\lambda_i},\end{aligned}$$

λ_i – корни характеристического уравнения исходной системы, α – эффективный коэффициент напряжений, \tilde{u}, \tilde{p} – функции смещений и порового давления в изображениях.

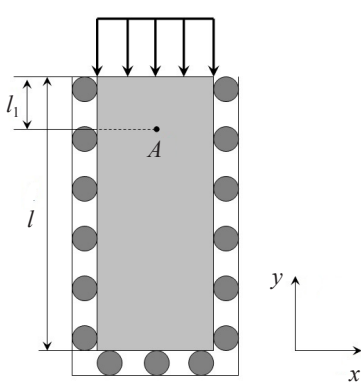


Рис. 1

Рассмотрим решение одномерной задачи о действии осевой силы $t_2 = 1 \text{ Н}/\text{м}^2$ на пороупругий стержень (рис. 1). Исследуются перемещение, давление и поток в точке A , удаленной на 1,5 м от нагруженного конца ($l_1 = 1,5 \text{ м}$).

Преобразование Лапласа

Пусть $f(t)$ – функция от t , $f(t) = 0$ для $t < 0$. Функция преобразования по Лапласу и ее обращение определены следующим образом:

$$\bar{f}(s) = \int_0^{\infty} f(t)e^{-st}dt, \quad f(t) = \frac{1}{2\pi i} \int_{\alpha-i\infty}^{\alpha+i\infty} \bar{f}(s)e^{st}ds$$

– формула Римана – Меллина, где s – комплексный параметр преобразования, α – вещественное число, большее, чем вещественные части всех особенностей $\bar{f}(s)$.

Пусть $s = \alpha + i\omega$, тогда алгоритм, предложенный Дурбином, имеет вид:

$$\begin{aligned} F_k &= \operatorname{Re} [\bar{f}(\alpha + i\omega_k)], \quad G_k = \operatorname{Im} [\bar{f}(\alpha + i\omega_k)], \quad \Delta_k = \omega_{k+1} - \omega_k, \\ f(0) &= \sum_{k=1}^{\infty} \frac{(F_k + F_{k+1})\Delta_k}{2\pi}, \\ f(t) &\approx \frac{e^{\alpha t}}{\pi t^2} \sum_{k=1}^{\infty} \left[\frac{F_{k+1} - F_k}{\Delta_k} (\cos(\omega_{k+1}t) - \cos(\omega_k t)) - \frac{G_{k+1} - G_k}{\Delta_k} (\sin(\omega_{k+1}t) - \sin(\omega_k t)) \right]. \end{aligned}$$

На основе теоремы о свертках сформулирован метод квадратур сверток [6, 7]. Рассмотрим метод, опирающийся на теорему об интегрировании оригинала, – шаговый метод численного обращения преобразования Лапласа. Для применения шагового метода рассмотрим интеграл, который необходимо вычислить:

$$y(t) = \int_0^t f(\tau)d\tau. \quad (1)$$

Интеграл (1) заменяется квадратурной суммой, весовые множители которой определяются с помощью изображения по Лапласу \bar{f} и линейного многошагового метода [5–8]. Традиционный шаговый метод интегрирования оригинала состоит в том, что интеграл (1) вычисляется по следующему соотношению:

$$y(0) = 0, \quad y(n\Delta t) = \sum_{k=1}^n \omega_k(\Delta t), \quad n = 1, \dots, N, \quad (2)$$

где

$$\omega_n(\Delta t) = \frac{R^{-n}}{2\pi} \int_0^{2\pi} \bar{f}\left(\frac{\gamma(Re^{i\phi})}{\Delta t}\right) e^{-in\phi}, \quad \phi = 2\pi \frac{l}{L},$$

γ – характеристическая функция, R – параметр метода.

При выводе формулы (2) используется аппроксимация, которая заключается в применении линейного многошагового метода для решения задачи Коши дифференциального уравнения первого порядка.

Следующая аппроксимация, которая используется в методе, – численное интегрирование при получении значений $\omega_n(\Delta t)$ (с L равными шагами $2\pi/L$):

$$\omega_n(\Delta t) = \frac{R^{-n}}{L} \sum_{l=0}^{L-1} \bar{f}\left(\frac{\gamma(Re^{i\phi})}{\Delta t}\right) e^{-in\phi}. \quad (3)$$

При условии того, что функция $\bar{f}(s)$ в уравнении (3) вычисляется с некоторой погрешностью ϵ , выбор $L = N$ и $R^n = \sqrt{\epsilon}$ допускает погрешность вычисления ω_n порядка $O(\sqrt{\epsilon})$.

Результаты численных экспериментов

На основе приведенных формул с использованием шагового метода найдено численное решение задачи о стержне, материал которого имеет следующие параметры: $K = 4,8 \cdot 10^9 \text{ Н/м}^2$, $G = 7,2 \cdot 10^9 \text{ Н/м}^2$, $\rho = 2458 \text{ кг/м}^3$, $\phi = 0,19$, $K_s = 3,6 \cdot 10^9 \text{ Н/м}^2$, $\rho_f = 1000 \text{ кг/м}^3$, $K_f = 3,3 \cdot 10^9 \text{ Н/м}^2$, $k = 1,9 \cdot 10^{-10} \text{ м}^4/(\text{Н}\cdot\text{с})$. Длина пороупругого стержня принята равной 9 м. На рис. 2 и 3 приведены результаты исследования сходимости шагового метода обращения преобразования Лапласа.

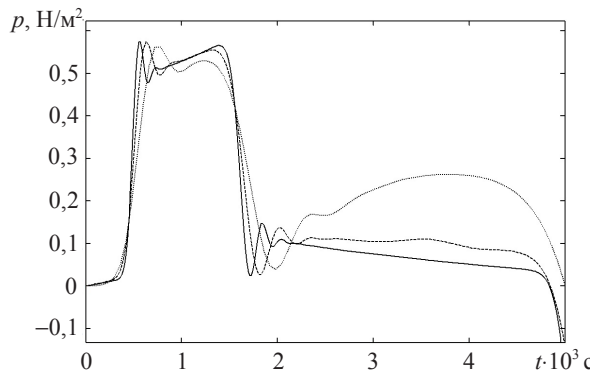


Рис. 2

Коэффициент проницаемости
 $k = 1,9 \cdot 10^{-7} \text{ м}^4/(\text{Н}\cdot\text{с})$

Параметры шагового метода
— L = 2000, N = 2000
- - - L = 1000, N = 1000
..... L = 500, N = 500

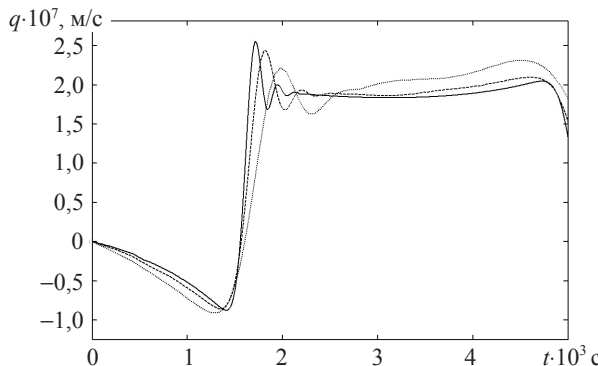


Рис. 3

Коэффициент проницаемости
 $k = 1,9 \cdot 10^{-7} \text{ м}^4/(\text{Н}\cdot\text{с})$

Параметры шагового метода
— L = 2000, N = 2000
- - - L = 1000, N = 1000
..... L = 500, N = 500

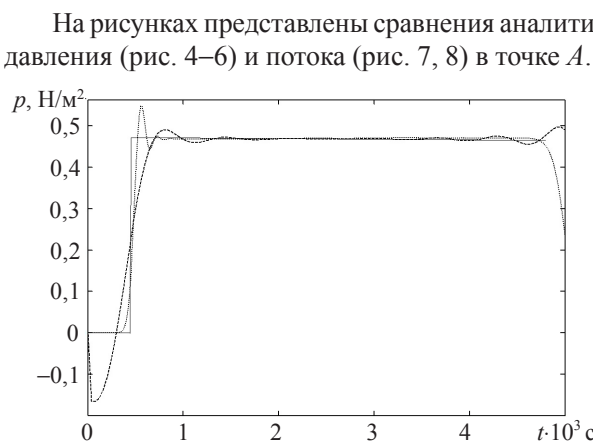


Рис. 4

Параметры шагового метода
 $L = 2000, N = 2000$

Коэффициент проницаемости
 $k = 1,9 \cdot 10^{-10} \text{ м}^4/(\text{Н}\cdot\text{с})$
— аналитическое решение
..... шаговый метод
- - - метод Дурбина

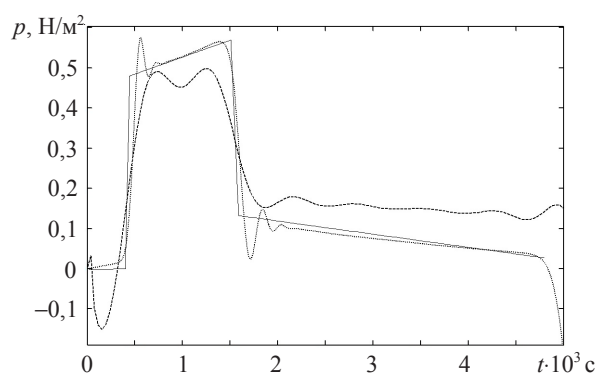


Рис. 5

Параметры шагового метода
 $L = 2000, N = 2000$

Коэффициент проницаемости
 $k = 1,9 \cdot 10^{-7} \text{ м}^4/(\text{Н}\cdot\text{с})$

— аналитическое решение
 шаговый метод
 - - - метод Дурбина

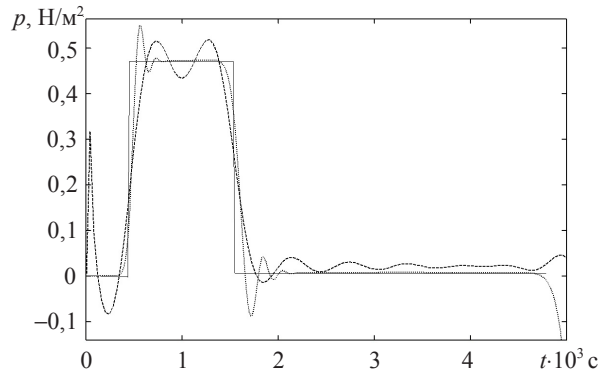


Рис. 6

Параметры шагового метода
 $L = 2000, N = 2000$

Коэффициент проницаемости
 $k = 1,9 \cdot 10^{-6} \text{ м}^4/(\text{Н}\cdot\text{с})$

— аналитическое решение
 шаговый метод
 - - - метод Дурбина

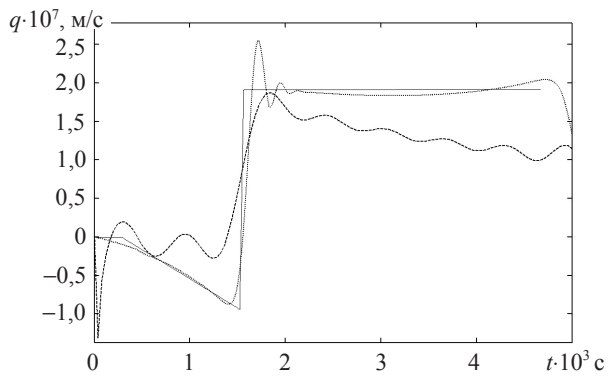


Рис. 7

Параметры шагового метода
 $L = 2000, N = 2000$

Коэффициент проницаемости
 $k = 1,9 \cdot 10^{-7} \text{ м}^4/(\text{Н}\cdot\text{с})$

— аналитическое решение
 шаговый метод
 - - - метод Дурбина

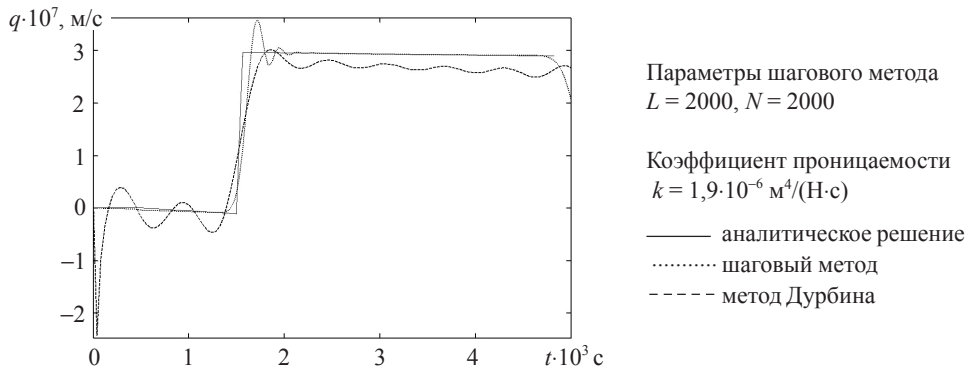


Рис. 8

На рис. 9 и 10 представлены результаты численного исследования влияния коэффициента проницаемости на отклик порового давления и потока в точке A .

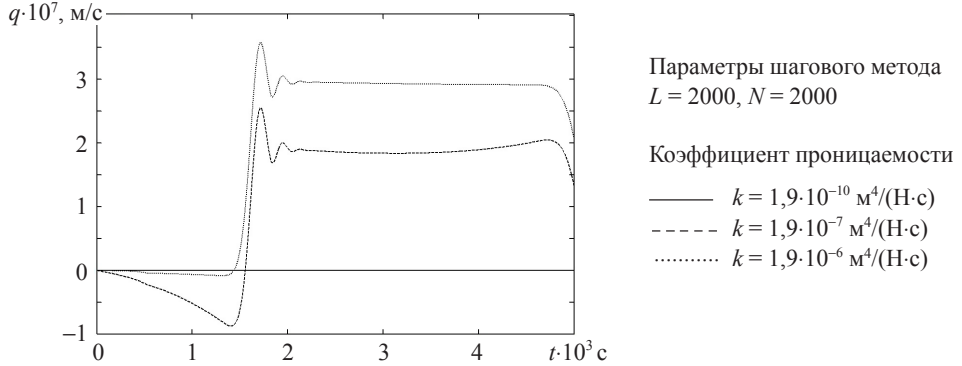


Рис. 9

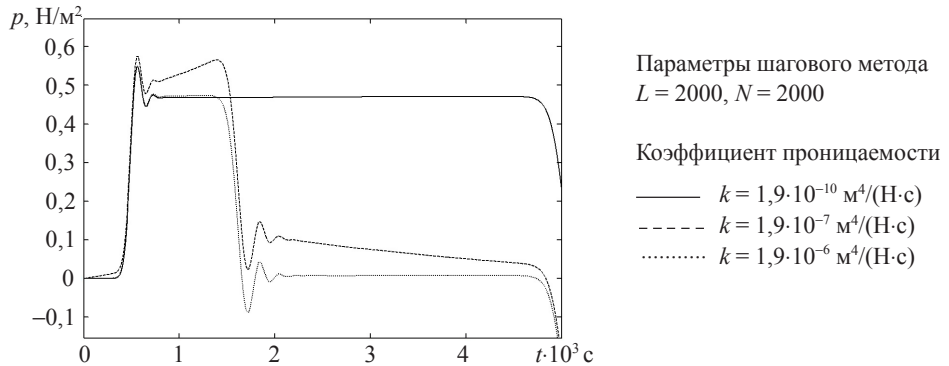


Рис. 10

В отличие от подобных исследований в [5], где эффект появления третьей волны продемонстрирован на отклике давлений, здесь приведены графики, демонстрирующие эффект третьей волны как на отклике порового давления, так и на отклике порового потока.

Стоит отметить, что шаговый метод дает более точный результат, нежели метод Дурбина, при эквивалентной трудоемкости вычислений.

Заключение

Приведены результаты численного исследования эффекта возбуждения медленной волны в одномерном случае на основе аналитического решения в изображениях по Лапласу. Получены оригиналы решения для стержня на основе метода Дурбина численного обращения преобразования Лапласа и на основе шагового метода численного обращения преобразования Лапласа. Продемонстрировано, что при некоторых параметрах пороупругого материала метод Дурбина существенно уступает по точности шаговому методу.

Список литературы

1. *Biot M.A.* General theory of three-dimensional consolidation // J. Appl. Phys. 1941. 12(2). P. 155–164.
2. *Biot M.A.* Theory of deformation of a porous viscoelastic anisotropic solid // J. Appl. Phys. 1956. 27(5). P. 459–467.
3. *Biot M.A.* Theory of elasticity and consolidation for a porous anisotropic solid // J. Appl. Phys. 1955. 26(2). P. 182–185.
4. *Plona T.J.* Observation of a second bulk compressional wave in porous medium at ultrasonic frequencies // Appl. Phys. Lett. 1980. 36(4). P. 259–261.
5. *Schanz M.* Wave propagation in viscoelastic and poroelastic continua. Berlin: Springer, 2001. 170 p.
6. *Lubich C.* Convolution quadrature and discretized operational calculus. I // Numer. Math. 1988. 52(2). P. 129–145.
7. *Lubich C.* Convolution quadrature and discretized operational calculus. II // Numer. Math. 1988. 52(4). P. 413–425.
8. Аменицкий А.В., Игумнов Л.А., Карелин И.С. Развитие метода граничных элементов для решения проблемы распространения волн в пористых средах // Проблемы прочности и пластичности: Межвуз. сб. / Нижегород. ун-т. 2008. Вып. 70. С. 71–78.

COMPARISON OF NUMERICAL SOLUTION ORIGINALS FOR 1D POROELASTIC PROBLEM BASED ON THE TIME-STEP METHOD AND THE DURBIN METHOD

L.A. Igumnov, A.N. Petrov, A.A. Ipatov

The issue of 1D poroelastic problem of the axial thrust applied to a column is considered. The problem has analytic solution in Laplace transforms. Solution originals are computed basing on the time-step method and the Durbin method of Laplace transformation inversion. A comparison of results, obtained with the help of the mentioned methods, is given.

Keywords: poroelasticity, boundary element method, Laplace transformation, boundary integral equations, Durbin method, time-step method.